

Глава 2.

Теория кристаллического поля в гетеродесмических соединениях

К гетеродесмическим соединениям относятся соединения, фрагменты структуры которых связаны между собой неодинаковым образом. Сильносвязанные фрагменты могут образовывать изолированные комплексы, цепочки, слои, а также более сложные структуры. Характерным примером таких соединений являются силикаты щелочных и редкоземельных элементов, фосфаты, германаты, ванадаты, купраты, различные металлоганические вещества. Конденсация групп атомов в сильносвязанные структуры приводит к ярко выраженной анизотропии распределения электронной плотности в кристалле и большой разнице в значениях межатомных расстояний. Это обуславливает многообразие физико-химических свойств данных соединений и делает их весьма привлекательными объектами для исследования. Ионы переходных групп в кристаллах, электроны которых находятся на незаполненных оболочках, являются открытыми системами, сильно взаимодействующими с различными внешними воздействиями: статическим электрическим или магнитным полем, электромагнитным излучением различных частот, упругими деформациями и т.д. Поскольку их электронные состояния определяются кристаллической матрицей, эти ионы являются своеобразными зондами, дающими возможность получения информации о микроструктуре кристалла и распределении электронной плотности в нем. В то же время, активированные ими кристаллы используются в квантовой электронике для создания твердотельных лазеров,

применяются в качестве катодолюминофоров, технических магнитных материалов. При этом энергетический спектр иона в значительной степени определяет эффективность использования и рабочие показатели данных материалов.

Ионы переходных групп в гетеродесмических кристаллах могут занимать как позиции внутри сильносвязанных комплексов (ванадаты, хроматы, купраты), так и позиции атомов, слабо связанных с ближайшим окружением и имеющих поэтому значение заряда, близкое к ионному (редкоземельные элементы в силикатах редкоземельных ионов). Если в первом случае волновые функции атомов ближайшего окружения иона переходной группы определяются взаимодействием с этим ионом, то во втором случае окружающие ион комплексы в значительной степени сохраняют свою целостность. Поэтому, волновые функции атомов, входящих в комплекс, будут определяться структурой комплекса. Для адекватного описания энергетического спектра переходного иона в этом случае недостаточно рассматривать взаимодействие волновых функций переходного иона с волновыми функциями атомов ближайшего окружения в рамках ионной модели, считая атомы ближайшего окружения бесструктурными образованиями, имеющими сферически симметричное распределение электронной плотности. Поскольку всегда имеется перекрытие волновых функций переходного иона и атомов ближайшего окружения недостаточно просто изменить заряд лигантов. Необходимо также последовательно учесть изменение геометрии распределения электронной плотности, проявляющееся в эффективном изменении значений интегралов перекрывания по сравнению с их значениями в ионной модели.

2.1. Метод расчета параметров кристаллического поля в гетеродесмических соединениях.

Представим эффективный гамильтониан локализованных на активаторном ионе электронов в виде

$$H = H_q + H_s , \quad (2.1)$$

где $H_q = \sum_{pq}^k O_p^k$ - энергия электронов в поле точечных зарядов решетки (см.(1-28)-(1.29)), H_s - энергия, связанная с перекрыванием волновых функций электронов примесного иона (ПИ) и волновых функций электронов лигандов.

В гетеродесмических соединениях лигандами могут оказаться как одноатомные, так и сложные анионы - молекулярные комплексы (МК). Распределение электронной плотности внутри МК может быть описано с помощью молекулярных орбиталей

$$\Psi_\mu = \sum_{i=1}^N \sum_{j=1}^{n_i} c_{ij}^\mu \psi_j(r_i) , \quad (2.2)$$

где μ - индексы, отвечающие неприводимым представлениям группы симметрии МК, $\psi_j(r_i)$ - волновая функция типа j атома i , c_{ij}^μ - коэффициент при атомной орбитали (АО) типа j в молекулярной орбитали типа μ , зависящий от выбора системы координат, N - число атомов в МК, n_i - число различных АО для атома i .

Вследствие переноса заряда внутри МК потенциалы электростатических полей ионов, входящих в комплекс, определяются

эффективными зарядами, которые можно найти, например, с помощью анализа заселенностей молекулярных орбиталей по Малликену. В перекрывание волновых функций ПИ

$$|nlm\rangle = R_{nl}(r) Y_{lm}(\theta, \phi), \quad (2.3)$$

где $Y_{lm}(\theta, \phi)$ – сферические функции, и молекулярных орбиталей основной вклад дают атомы из МК, входящие в ближайшее окружение ПИ; пронумеруем эти атомы индексом ν , а соответствующую часть молекулярной орбитали обозначим $|\mu_\nu^\lambda\rangle$, где индекс λ определяет тип ($2s, 2p\dots$) АО.

Матричные элементы эффективного гамильтониана ПИ H_s в поле лиганда ν в модели обменных зарядов представляются в виде [91]

$$\langle nlm' | H_s^\nu | nlm \rangle = e^2 / R_\nu * \sum_{\lambda \mu} G_{\lambda \mu} \langle nlm' | \mu_\nu^\lambda \rangle \langle \mu_\nu^\lambda | nlm \rangle \quad (2.4)$$

где $G_{\lambda \mu}$ – феноменологические параметры модели, e – заряд электрона, R_ν – расстояние между ПИ и лигандом.

Волновые функции ПИ (2.3) и его эффективный гамильтониан (2.1) в кристаллическом поле обычно рассматриваются в локальной системе координат X, Y, Z , связанной с ПИ, ориентированной в соответствии с точечной симметрией соответствующего узла решетки либо вдоль кристаллографических осей. Волновые функции МК $|\mu_\nu^\lambda\rangle$ будем считать заданными в некоторой системе координат X'_ν, Y'_ν, Z'_ν , оси которой направим параллельно осям системы X, Y, Z (начало отсчета на атоме ν). Допустим, атом кислорода

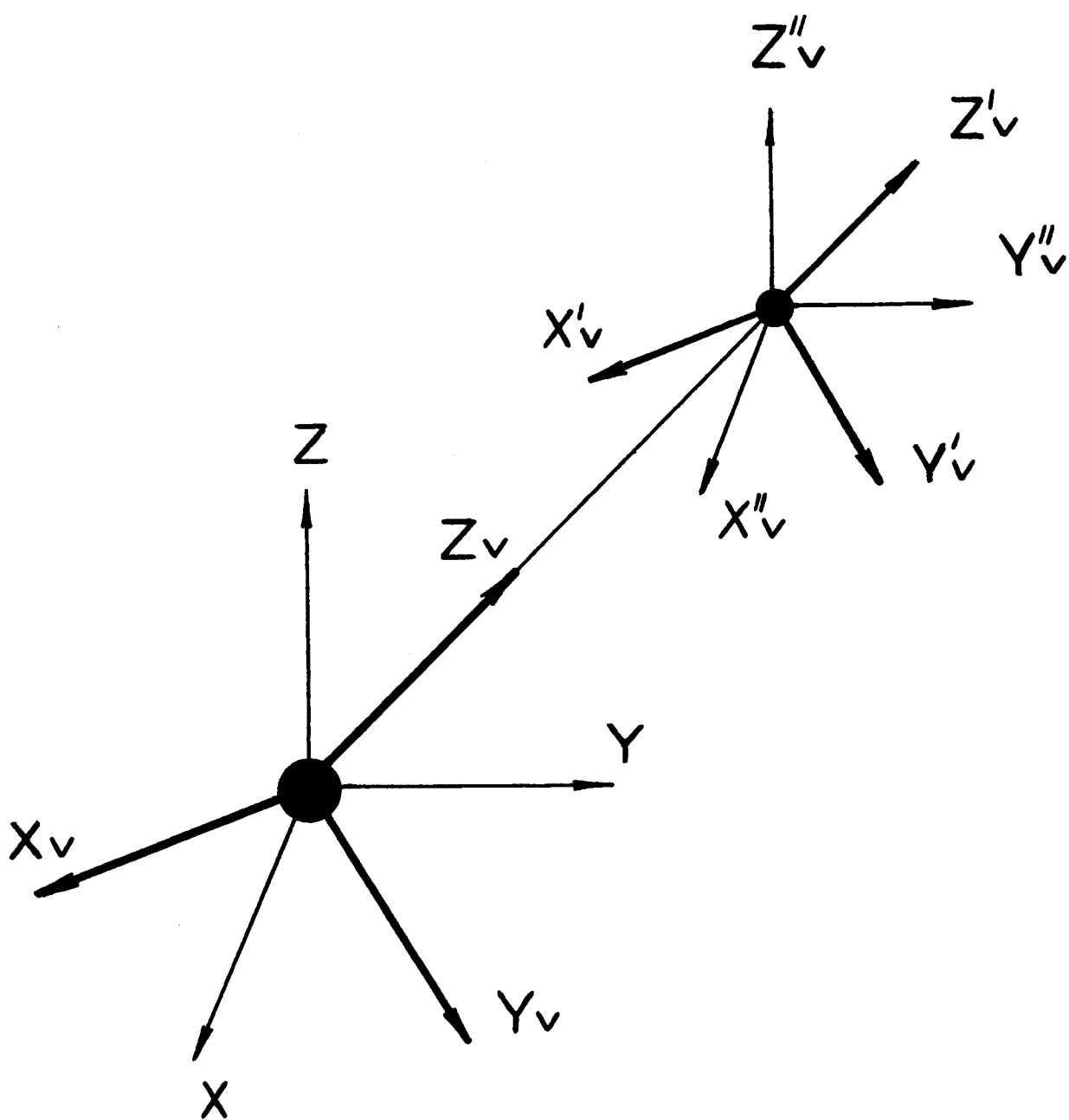


Рис.2.1.

Системы координат, используемые при получении выражений для параметров кристаллического поля

(лиганд ν) в системе X, Y, Z имеет сферические координаты $R_\nu, \theta_\nu, \phi_\nu$. Введем общую ось квантования угловых моментов локализованных на ПИ и лигандах электронов Z_ν , параллельную \bar{R}_ν , выполнив преобразование системы координат $X, Y, Z \rightarrow X_\nu, Y_\nu, Z_\nu$. Волновые функции (2.3) принимают вид

$$|nlm\rangle = \sum_{m''} D_{mm''}^{*(1)}(\alpha\beta\gamma) * |nlm''_\nu\rangle, \quad (2.5)$$

где $D_{mm''}^{*(1)}$ – матричные элементы неприводимого представления группы вращений, определяемые углами Эйлера $\alpha=\phi_\nu$ (поворот вокруг оси Z), $\beta=\theta_\nu$ (вокруг новой оси Y), γ (вокруг оси Z_ν). Величину угла γ для удобства в дальнейшем положим равной нулю.

Выполним далее преобразование системы координат $X_\nu'', Y_\nu'', Z_\nu'' \rightarrow X_\nu', Y_\nu', Z_\nu'$ таким образом, чтобы оси X_ν', Y_ν', Z_ν' были параллельны осям X_ν, Y_ν, Z_ν (см. Рисунок 2.1). Коэффициенты при АО преобразованной функции $|\bar{\mu}_\nu^\lambda\rangle$ в системе X_ν', Y_ν', Z_ν' являются линейными комбинациями коэффициентов при АО функции $|\mu_\nu^\lambda\rangle$ в системе координат ковалентного комплекса. Пренебрегая смешиванием s и p орбиталей кислорода, можно записать

$$\begin{aligned} |\bar{\mu}_\nu^s\rangle &= (2)^{1/2} |2s\rangle_\nu, \\ |\bar{\mu}_\nu^p\rangle &= \alpha_\nu^\mu Z_\nu' + \beta_\nu^\mu X_\nu' + \gamma_\nu^\mu Y_\nu', \end{aligned} \quad (2.6)$$

$$\text{где } \alpha_{\nu}^{\mu} = c_x^{\mu\nu} \cos\phi_{\nu} \sin\theta_{\nu} + c_y^{\mu\nu} \sin\phi_{\nu} \sin\theta_{\nu} + c_z^{\mu\nu} \cos\theta_{\nu}$$

$$\beta_{\nu}^{\mu} = c_x^{\mu\nu} \cos\phi_{\nu} \cos\theta_{\nu} + c_y^{\mu\nu} \sin\phi_{\nu} \cos\theta_{\nu} - c_z^{\mu\nu} \sin\theta_{\nu}$$

$$\gamma_{\nu}^{\mu} = -c_x^{\mu\nu} \sin\phi_{\nu} + c_y^{\mu\nu} \cos\phi_{\nu} ,$$

$c_{\alpha}^{\mu\nu}$ – коэффициенты при $|p_{\alpha}\rangle_{\nu}$ -функциях лиганда ν в молекулярной орбитали комплекса типа μ . Таким образом, коэффициенты α_{ν}^{μ} , β_{ν}^{μ} и γ_{ν}^{μ} содержат информацию не только об электронной плотности МК, но также о его ориентации.

Используя соотношение $D_{mm'''}^{*(1)} = (-1)^{m-m'''} D_{-m-m'''}^{(1)}$, а также

$$\langle nlm' | = \sum_{m'''} D_{m'm'''^{(1)}} \langle \alpha\beta\gamma * \langle nlm_{\nu}''' | \text{ получаем при подстановке (2.5)}$$

в (2.6)

$$\begin{aligned} \langle nlm' | H_s^{\nu} | nlm \rangle &= e^2 / R_{\nu} * \sum_{m''' m'''} (-1)^{m-m'''} D_{-m-m'''}^{(1)} * D_{m'm'''^{(1)}} * \\ &* \sum_{\lambda\mu} G_{\lambda\mu} \langle nlm_{\nu}''' | \bar{\mu}_{\nu}^{\lambda} \rangle \langle \bar{\mu}_{\nu}^{\lambda} | nlm_{\nu}'' \rangle . \end{aligned} \quad (2.7)$$

Произведение двух D-функций Вигнера можно записать в виде следующей суммы

$$D_{-m-m''}^{(1)} * D_{m'm''}^{(1)} = \sum_{L=0}^{2l} C_{1,-m,1,m'}^{L,-m+m'} * D_{m'm'm'''-m'''}^{(L)} * C_{1,-m'',1,m'''}^{L,-m''+m'''}, \quad (2.8)$$

где $C_{j_1 m_1 j_2 m_2}^{j_3 m_3}$ - коэффициенты Клебша-Гордана

$$C_{j_1 m_1 j_2 m_2}^{j_3 m_3} = (-1)^{j_1-j_2+m_3} (2j_3+1)^{1/2} \begin{Bmatrix} j_1 & j_2 & j_3 \\ m_1 & m_2 & m_3 \end{Bmatrix},$$

$$\begin{Bmatrix} j_1 & j_2 & j_3 \\ m_1 & m_2 & m_3 \end{Bmatrix} - 3j \text{ символ Вигнера.}$$

Используя соотношения симметрии для коэффициентов Клебша-Гордана

$$C_{1,-m,1,m'}^{L,-m+m'} = \begin{Bmatrix} 2L+1 \\ 2l+1 \end{Bmatrix} C_{L,m'-m,1,m}^{1,m'} (-1)^{1+m} \quad (2.9)$$

извлекаем матричный элемент сферического оператора $\Psi_L^{m'-m}$ в явном виде

$$C_{L,m'-m,1,m}^{1,m'} = \left[4\pi/(2L+1) \right]^{1/2} \frac{\langle lm' | \Psi_L^{m'-m} | lm \rangle}{C_{L010}^{10}} = \frac{(-1)^{2L-1} \langle lm' | C^{m-m'} | lm \rangle}{(2l+1)^{1/2} \begin{Bmatrix} 1 & 1 & L \\ 0 & 0 & 0 \end{Bmatrix}}$$

где C_p^k - сферический оператор Стивенса.

Тогда (2.9) примет вид

$$C_{l,-m,1,m'}^{L,-m+m'} = \frac{(-1)^m \langle lm' | C_L^{m-m} | lm \rangle}{\begin{pmatrix} 1 & 1 & L \\ 0 & 0 & 0 \end{pmatrix}} \left[\frac{(2L+1)}{(2l+1)} \right]^{1/2}.$$

В результате (2.7) примет вид

$$\begin{aligned} \langle nlm' | H_s^\nu | nlm \rangle &= e^2 / R_\nu \sum_{pk} \langle lm' | C_p^k | lm \rangle \left(\frac{2p+1}{2l+1} \right) \sum_{m'' m''' m'''} (-1)^m * \\ &\quad * \frac{\begin{pmatrix} 1 & 1 & L \\ -m''' & m''' & m''-m''' \end{pmatrix}}{\begin{pmatrix} 1 & 1 & L \\ 0 & 0 & 0 \end{pmatrix}} D_{k m'''-m''}^{(p)} * \sum_{\mu} G_{\mu\lambda} \langle nlm'''_\nu | \bar{\mu}_\nu^\lambda \rangle \langle \bar{\mu}_\nu^\lambda | nlm''_\nu \rangle \end{aligned}$$

Здесь сделана замена $p=L$, $k=m'-m$.

Выразив МО через сферические функции, получим

$$|\bar{\mu}_\nu^p\rangle = \alpha |10\rangle - 1/\sqrt{2}(\beta - i\gamma) |11\rangle + 1/\sqrt{2}(\beta + i\gamma) |1-1\rangle$$

$$\langle \bar{\mu}_\nu^p | = \alpha \langle 10 | - 1/\sqrt{2}(\beta + i\gamma) \langle 11 | + 1/\sqrt{2}(\beta - i\gamma) \langle 1-1 |$$

При подстановке этих выражений получим, опустив временно вклады в функций:

$$\begin{aligned} \langle nlm' | H_s^\nu | nlm \rangle &= e^2 / R_\nu \sum_{pk} \langle lm' | C_p^k | lm \rangle \left(\frac{2p+1}{2l+1} \right) * \sum_{\mu} G_{\mu p} \left[\left(S_{\mu\sigma}^2 + \right. \right. \\ &\quad \left. \left. + \Gamma_0^p (S_{\mu\pi^-}^2 + S_{\mu\pi^+}^2) \right) D_{k0}^p + \Gamma_1^p S_{\mu\sigma} \left(S_{\mu\pi^-} (D_{k1}^p - D_{k-1}^p) - i S_{\mu\pi^+} (D_{k1}^p + D_{k-1}^p) \right) \right] + \end{aligned}$$

$$+\Gamma_2^p \left[1/2(S_{\mu\pi^-}^2 - S_{\mu\pi^+}^2)(D_{k2}^p + D_{k-2}^p) + t S_{\mu\pi^-} S_{\mu\pi^+} (D_{k-2}^p - D_{k2}^p) \right] \quad (2.10)$$

В (2.10) использованы следующие обозначения:

$$S_{\mu\sigma} = \alpha_\mu^\nu \langle nl0 | p0 \nu \rangle, \quad \Gamma_0^p = \frac{2l(l+1)-p(p+1)}{2l(l+1)},$$

$$S_{\mu\pi^-} = \beta_\mu^\nu \langle nl-1 | p-1 \nu \rangle, \quad \Gamma_1^p = \left\{ \frac{p(p+1)}{l(l+1)} \right\}^{1/2}$$

$$S_{\mu\pi^+} = \gamma_\mu^\nu \langle nl1 | p1 \nu \rangle, \quad \Gamma_2^p = \left\{ \frac{p(p+1)}{(p-1)(p+2)} \right\}^{1/2}$$

Таким образом, можно записать эффективный гамильтониан "обменного" взаимодействия ПИ с лигандом ν в виде:

$$H = \sum_p \tilde{B}_{ps}^k C_p^k (\theta, \phi),$$

где C_p^k -зависит от направляющих косинусов радиус вектора электрона ПИ \vec{r} . Введем действительные тессеральные гармоники Z_p^k :

$$\begin{cases} Z_p^0 = C_p^0 \\ Z_p^{|k|} = C_p^{-|k|} + (-1)^k C_p^{|k|} \\ Z_p^{-|k|} = t(C_p^{-|k|} - (-1)^k C_p^{|k|}) \end{cases}$$

При этом гамильтониан преобразуется следующим образом:

$$H = \sum_\nu H_\nu^\nu = \sum_{p, |k|} \left\{ C_p^{|k|} \tilde{B}_p^{|k|} + C_p^{-|k|} \tilde{B}_p^{-|k|} \right\} = \sum_{p, |k|} B_p^k O_p^k,$$

где

$$B_p^k = \begin{cases} 1/2 * a_{pk} ((-1)^{\tilde{B}_p^{|k|}} + \tilde{B}_p^{-|k|}) & \text{при } k > 0 \\ a_{pk} \tilde{B}_p^k & \text{при } k = 0 \\ i/2 * a_{pk} ((-1)^{\tilde{B}_p^{|k|}} - \tilde{B}_p^{-|k|}) & \text{при } k < 0 \end{cases}$$

$O_p^k = Z_p^k / a_{pk}$ – сферические полиномы Стивенса.

Параметры B_{ps}^k представляются в виде следующей суммы:

$$B_{ps}^k = B_{psq}^k + B_{psD}^k + B_{psQ}^k,$$

где [91]

$$B_{psq}^k = \frac{1}{2} (1 + \delta_{k0}) a_{pk}^2 e^{2 \left(\frac{2p+1}{2l+1} \right)} \sum_{\nu} \left\{ 2 G_s S_s^2 + \sum_{\mu} G_{\mu p} \left(S_{\mu\sigma}^2 + \Gamma_0^p (S_{\mu\pi^-}^2 + S_{\mu\pi^+}^2) \right) \right\} * \\ * \frac{O_p^k(\theta_{\nu}, \phi_{\nu})}{R_{\nu}}, \quad (2.11)$$

$$B_{psD}^k = a_{pk}^2 e^{2 \left(\frac{2p+1}{2l+1} \right)} (-1)^k 2^{1/2} \Gamma_1^p \sum_{\nu\mu} G_{\mu p} S_{\mu\sigma} / R_{\nu} *$$

$$* \left\{ S_{\mu\pi^-} (d_{k1}^p - d_{k-1}^p) v_k - S_{\mu\pi^+} (d_{k1}^p + d_{k-1}^p) w_k \right\}, \quad (2.12)$$

$$B_{psQ}^k = a_{pk}^2 e^{2 \left(\frac{2p+1}{2l+1} \right)} (-1)^k \Gamma_2^p \sum_{\nu\mu} G_{\mu p} / R_{\nu} \left\{ 1/2 (S_{\mu\pi^-}^2 - S_{\mu\pi^+}^2) * \right.$$

$$\left. * (d_{k2}^p + d_{k-2}^p) v_k + i S_{\mu\pi^-} S_{\mu\pi^+} (d_{k-2}^p - d_{k2}^p) w_k \right\} \quad (2.13)$$

Здесь $S_g = \langle n10 | 2s_\nu \rangle$, a_{pk} - численные множители, связывающие полиномы Стивенса с тессеральными гармониками; явный вид вещественных функций $d_{kk_1}^p(\theta_\nu) = D_{kk_1}^p(0, \theta_\nu, 0)$ приведен в [45], δ_{k0} - символ Кронекера,

$$v_0 = 1, \quad v_k = \cos k\phi_\nu \quad (k > 0), \quad v_k = \sin k\phi_\nu \quad (k < 0), \\ w_0 = 1, \quad w_k = \sin k\phi_\nu \quad (k > 0), \quad w_k = -\cos k\phi_\nu \quad (k < 0).$$

Рассмотрим далее факторы, определяющие структуру "обменного взаимодействия".

2.2. Анализ структуры параметров кристаллического поля в гетеродесмических соединениях.

Наиболее простой - однопараметрический - вариант модели получаем, положив $G_s = G_{\mu 2p} = G$. В этом случае $B_{ps}^{-1}G$, величина G может быть легко определена, например, путем сравнения результатов расчета полного штарковского расщепления мультиплета с экспериментальными данными. Поскольку в использованной схеме расчета зависимость параметров кристаллического поля зависит от координат атомов решетки и геометрии распределения электронной плотности лигандов вычисляется в явном виде, значение параметра G должно быть примерно постоянным в изоструктурных кристаллах для фиксированной пары ПИ-лиганд. Некоторое изменение значения G может возникать за счет неточности аппроксимации интегралов межэлектронного взаимодействия комбинацией интегралов

перекрывания, а также вследствие отличия геометрии ближайшего окружения ПИ от пространственной конфигурации кристаллической решетки из-за деформации, вызванной внедрением ПИ.

Рассмотрим детальнее структуру отдельных вкладов (2.11)–(2.13) в параметры "обменного взаимодействия". Вклад (2.11) по своей явной угловой зависимости от координат лигандов аналогичен электростатическому вкладу:

$$B_{pq}^k \sim \sum_v \frac{q_v O_p^k(\theta_v, \phi_v)}{R_v} \frac{\langle r^p \rangle}{R_v^p} \quad (2.14)$$

где $\langle r^p \rangle$ – среднее значение радиуса электрона ПИ.

В роли "заряда" для параметров КП (2.11), названных "обменно-точечными", выступают величины:

$$n_{\alpha^2}^\nu = \sum_\mu (\alpha_\mu^\nu)^2, \quad n_{\beta^2+\gamma^2}^\nu = \sum_\mu ((\beta_\mu^\nu)^2 + (\gamma_\mu^\nu)^2) \quad (2.15)$$

Следует подчеркнуть отличие параметров (2.15) от значений эффективных зарядов атомов, получаемых при анализе заселенности МО. Эти параметры определяются как межэлектронным взаимодействием внутри МК, так и взаимодействием волновых функций ПИ комплекса. Если, как это делается в ряде моделей, форсировать приписать атомам МК некоторый дробный заряд, полагая в время распределение электронной плотности на атоме сферически симметричным, то результат взаимодействия волновых функций ПИ-лиганд будет инвариантным относительно поворотов координат. В нашем случае распределение электронной плотности атома может принимать любые геометрические формы. В этом, результат взаимодействия будет зависеть не

расстояния ПИ-лиганд, но также и от угловых характеристик электронной плотности лиганда, т.е. при одинаковом расстоянии до лиганда параметры (2.15) будут различными для МК с различной ориентацией относительно оси ПИ-лиганд. Таким образом, параметры "обменного взаимодействия", определяемые в случае ионной модели группой симметрии ближайшего окружения ПИ, в нашем случае будут определяться истинной точечной симметрией узла кристаллической решетки.

Для анализа вкладов (2.12), (2.13) используем рекуррентные соотношения:

$$\begin{aligned}
 -\frac{M + M' \cos\beta}{\sin\beta} D_{MM'}^J &= \frac{1}{2} \left[(J+M')(J-M'+1) \right]^{1/2} D_{M'M'-1}^J e^{-i\gamma} + \\
 &+ \frac{1}{2} \left[(J-M')(J+M'+1) \right]^{1/2} D_{M'M'+1}^J e^{i\gamma}, \\
 D_{M \pm 1 M'}^J e^{i\alpha} &= \left\{ \frac{(J+M')(J-M'+1)}{(J-M)(J+M+1)} \right\} \left\{ \frac{1+\cos\beta}{2} \right\} e^{-i\gamma} D_{M'M'-1}^J + \tag{2.16}
 \end{aligned}$$

$$\frac{M' \sin\beta}{((J-M)(J+M+1))^{1/2}} D_{MM'}^J - \left\{ \frac{(J-M')(J+M'+1)}{(J-M)(J+M+1)} \right\} \left\{ \frac{1-\cos\beta}{2} \right\} e^{i\gamma} D_{M'M'+1}^J$$

с целью определения явной зависимости вкладов от сферических полиномов O_p^k . Получаем в результате:

$$\begin{aligned}
 B_{psD}^k = & e^2 \left(\frac{1}{2l+1} \right) (-1)^k \Gamma_1^p G \sum_{\nu} S_{\sigma} S_{\pi} \left[n_{\alpha\beta}^{\nu} \left[\begin{array}{c} k \\ L_p 0_{p-1} - L_p 0_{p+1} \end{array} \right] + \right. \\
 & \left. + n_{\alpha\gamma}^{\nu} \left[\begin{array}{c} k \\ L_p 0_p \end{array} \right] \right] / (R_{\nu} \sin \theta_{\nu}) \quad (2.17) \\
 B_{psQ}^k = & e^2 \left(\frac{2p+1}{2l+1} \right) \left(\frac{p(p+1)}{(p-1)(p+2)} \right)^{1/2} \Gamma_2^p G \sum_{\nu} S_{\pi^-} S_{\pi^+} \left\{ n_{\beta\gamma}^{\nu} \right. \\
 & \left. \left[\begin{array}{c} k \\ \beta^2 - \gamma^2 \end{array} \right] \left[\begin{array}{c} k \\ \sin^2 \theta \end{array} \right] \left[\begin{array}{c} k \\ L_p 1 0_p \end{array} \right] + \right. \\
 & \left. + L_p 2 0_{p-2} - L_p 3 0_{p+2} \right] \left[\begin{array}{c} k \\ -a_{pk} 0_k^p \end{array} \right] + \frac{n_{\beta\gamma}^{\nu}}{\sin^2 \theta} \left[\begin{array}{c} k \\ L_p 4 0_{p-1} - L_p 5 0_{p+1} \end{array} \right] \right. \\
 & \left. \left. \right] \quad (2.18) \right.
 \end{aligned}$$

$$\text{где } n_{\alpha\beta}^{\nu} = \sum_{\mu} \alpha_{\mu}^{\nu} \beta_{\mu}^{\nu}, \quad n_{\alpha\gamma}^{\nu} = \sum_{\mu} \alpha_{\mu}^{\nu} \gamma_{\mu}^{\nu} \quad (2.19)$$

$$n_{\beta\gamma}^{\nu} = \sum_{\mu} (\beta_{\mu}^{\nu} - \gamma_{\mu}^{\nu}) / 2, \quad n_{\beta\gamma}^{\nu} = \sum_{\mu} \beta_{\mu}^{\nu} \gamma_{\mu}^{\nu}; \quad (2.20)$$

L_p^k - числовые константы, зависящие только от p и k .

Отметим, что угловая зависимость параметров (2.17) и (2.18) включает в себя полиномы соответственно рангов $p+1$ и $p+2$. Подобные зависимости возникают в ионной модели при учете электростатических вкладов от атомных диполей и квадрупольей. Поэтому, параметры (2.17) и (2.18) были названы соответственно обменно-дипольными и обменно-квадрупольными [90-92].

Рассмотрим механизм возникновения данных вкладов. Гамильтониан H_S в представлении вторичного квантования может быть записан в общем виде как

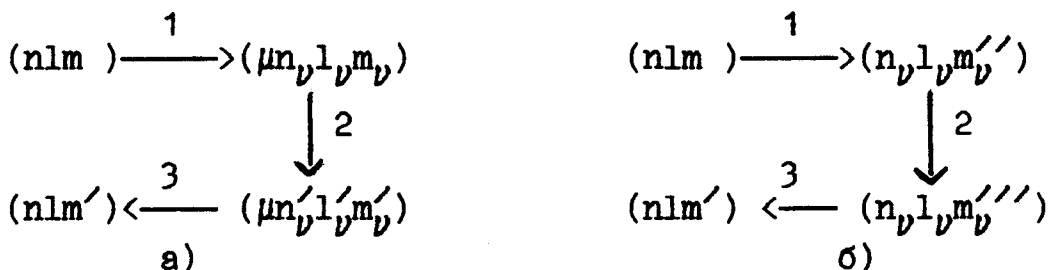
$$H_S = \sum_{\mu\lambda\lambda'} V_{mm'}^{\mu\lambda\lambda'} + b_{nlm'}^\lambda b_\mu^{\lambda'} b_\mu^{\lambda+} b_{nlm}^- \quad (2.21)$$

где $V_{mm'}^{\mu\lambda\lambda'}$ - матричные элементы (2.4), $b_{nlm'}^\lambda$ и b_{nlm}^- операторы

рождения электрона ПИ в состоянии (nlm') и уничтожения электрона

ПИ в состоянии (nlm) соответственно; $b_\mu^{\lambda'}$ и $b_\mu^{\lambda+}$ - операторы

уничтожения электрона на АО лиганда типа λ' и рождения электрона на АО лиганда типа λ соответственно. Процессы виртуального переноса заряда, приводящие к гамильтониану (2.21) представлены на диаграмме а):



Для сравнения на диаграмме б) представлены процессы, приводящие к возникновению поля обменных зарядов в ионной модели. Как в случае а), так и в случае б) введение общей оси квантования приводит к требованиям:

$$\begin{array}{ll} m = m_\nu & m = m_\nu^{''} \\ m' = m_\nu' & m' = m_\nu''' \end{array}$$

Поскольку в ионной модели в приближении центрального поля отсутствуют какие-либо внутриатомные взаимодействия, приводящие к изменению проекций углового момента электрона лиганда, изменение

квантовых чисел электрона лиганда в процессе 2 запрещено. Поэтому гамильтониан разделяется на сумму квадратов интегралов перекрывания S_S , S_σ , S_π .

В случае а) состояние электрона лиганда определяется не АО типа $n_\nu l_\nu m_\nu$, а МО типа μ , являющейся линейной комбинацией всех возможных АО. Вследствие межатомного взаимодействия сферическая симметрия электронной плотности атома снимается и возникают взаимодействия, приводящие к смешиванию различных АО. Поэтому в процессе 2 сохраняется тип МО, а квантовые числа (nlm) АО могут изменяться. В результате, при $m'_\nu = m_\nu + 1$ в гамильтониане (2.18) появляются обменно-дипольные вклады; при $m'_\nu = m_\nu + 2$ — обменно-квадрупольные [90-92].

Таким образом, появление обменно-дипольных и обменно-квадрупольных вкладов является принципиальным следствием учета реального распределения электронной плотности в МК, их величина характеризует степень смешивания АО в МО, т.е. нарушение ортогональности атомных состояний.